

Вопрос по выбору на устный экзамен  
по общей физике(3 семестр).  
Тема: Диод Ганна и его математическая модель

Рябов Олег  
Группа Б04-302

27 декабря 2024 г.



# Содержание

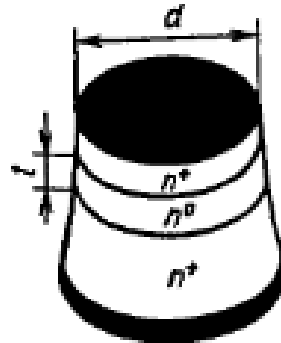
<b>1</b>	<b>Диод Ганна и его математическая модель</b>	<b>3</b>
1.1	Введение . . . . .	3
1.2	Начальное и граничные условия . . . . .	6
1.3	Характеристики и параметры модели . . . . .	7

# 1 Диод Ганна и его математическая модель

## 1.1 Введение

Диод Ганна – это кристалл полупроводникового материала электронной проводимости с двумя омическими контактами на противоположных сторонах. Активная часть диода Ганна обычно имеет длину  $l = 1 - 100$  мкм и концентрацию легирующих донорных примесей  $n_0 = 2 \cdot 10^{14} - 2 \cdot 10^{16} \text{ см}^{-3}$ .

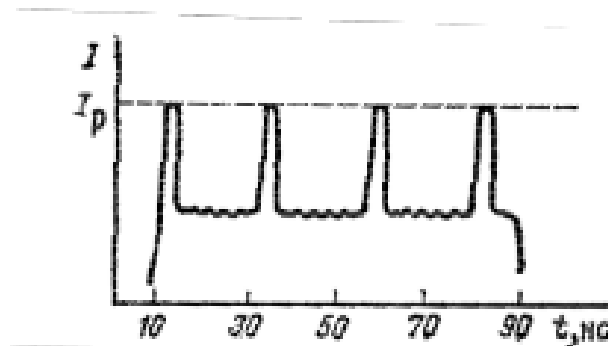
Слои полупроводника с повышенной концентрацией примесей  $n^+ = 10^{18} - 10^{19} \text{ см}^{-3}$  служат для создания омических контактов. На рисунке 1.1 представлена типовая структура кристалла диода Ганна



В 1963 г. Ганн обнаружил, что если приложить постоянное электрическое поле  $E_0$ , большее некоторого порогового значения  $E_p$ , к образцу арсенида галлия или фосфида индия n-типа, то наблюдаются спонтанные периодические колебания тока, протекающего через образцы (рисунок 1.2). Для GaAs напряженность порогового поля  $E_p$  составляла около 3 кВ/см, для InP – около 6 кВ/см. Период колебаний  $T_0$  приблизительно равнялся времени пролета электронов от катода к аноду:

$$T_0 = \frac{l}{v_g}$$

где  $l$  – длина образца,  $v_g$  – дрейфовая скорость электронов (около 107 см/с при  $E_0 = E_p$ ).



Для использованных Ганном образцов с  $2 \cdot 10^{-3} \text{ см} < l < 2 \cdot 10^{-2} \text{ см}$  частота колебаний лежала в СВЧ диапазоне. Оказалось, что при  $E > E_p$  в образце возникает область сильного электрического поля (домен), дрейфующая от катода к аноду со скоростью около 107

см/с и исчезающая у анода. Этот процесс периодически повторяется, причём при формировании домена ток падает, а при исчезновении домена вновь возрастает до пороговой величины. В 1963 г. Ридли показал, что явления доменной неустойчивости возникают в полупроводнике с N-образной вольт-амперной характеристикой. Плотность тока в однородном образце равна

$$j = qn_0v$$

где  $q$  – заряд электрона,  $n_0$  – концентрация носителей,  $v$  – средняя дрейфовая скорость носителей. Из формулы (1.2) следует, что плотность тока может падать с ростом электрического поля, если либо концентрация носителей либо их дрейфовая скорость уменьшаются при увеличении поля. Рассмотрим механизм Ридли-Уоткинса-Хилсума, приводящий к падению скорости электронов с ростом напряженности электрического поля на примере двухдолинной модели зоны проводимости. Пусть при малых энергиях  $\xi$ , меньших, чем  $\delta$ , электроны в зоне проводимости обладают эффективной массой  $m_1^*$ . При  $\xi > \delta$  электроны могут находиться не только в нижней, но и в верхней долине, в которой эффективная масса электронов  $m_2^* \gg m_1^*$ . Большой эффективной массе электронов соответствует большая плотность состояний и поэтому при  $\xi > \delta$  подавляющее большинство электронов будет находиться в верхней долине зоны проводимости. Для простоты будем считать, что при  $\xi > \delta$  все электроны находятся в верхней долине. Такая модель качественно отражает основные черты строения зоны проводимости реальных полупроводников, в которых наблюдается эффект Ганна. При достаточно низкой температуре и в слабом электрическом поле практически все электроны находятся в нижней долине ( $n_1 = n_0$ , где  $n_1$  – концентрация электронов, находящихся в нижней долине). Средняя дрейфовая скорость электронов будет пропорциональна приложенному электрическому полю  $v = \mu_1 E$ , где  $\mu_1$  – подвижность электронов с эффективной массой  $m_1^*$  (в нижней долине). Плотность электрического тока, протекающего через образец, определяется по закону Ома

$$j = qn_0\mu_1 E$$

В достаточно сильном электрическом поле энергия электронов возрастает, часть электронов приобретает энергию, большую  $\delta$  и переходит из нижней долины в верхнюю. Большой эффективной массе электронов в верхней долине соответствует низкое значение их подвижности  $\mu_2 \ll \mu_1$ . Поэтому при очень больших полях, когда подавляющее большинство электронов находится в верхней долине, имеем  $v \approx \mu_2 E$ . При промежуточных значениях электрического поля

скорость электронов падает с ростом напряженности поля, так как часть электронов находится в верхней, а часть – в нижней долине и тогда плотность тока равна

$$j = q(n_1\mu_1 + n_2\mu_2)E = qn_0v(E)$$

Среднюю дрейфовую скорость электронов  $v(E)$  можно записать в виде

$$v(E) = \frac{\mu_1 n_1(E) + \mu_2 n_2(E)}{n_1(E) + n_2(E)} E = \frac{\mu_1 n_1(E) + \mu_2 n_2(E)}{n_0} E$$

где  $n_0$  – общее число электронов проводимости, не зависящее от поля и равное равновесной концентрации электронов.

# Уравнения математической модели диода Ганна

Физические процессы в диоде Ганна могут быть описаны путем решения двух фундаментальных уравнений: уравнения Пуассона

$$\operatorname{div} E = \frac{\rho}{\varepsilon_\alpha}$$

где  $\rho$  – плотность объемного заряда,  $\varepsilon_\alpha$  – диэлектрическая проницаемость полупроводникового материала ( $\varepsilon_\alpha = \varepsilon\varepsilon_0$ ,  $\varepsilon = 12,5$  для арсенида галлия), и уравнения плотности полного тока

$$\operatorname{div} j_\Sigma = 0$$

где

$$j_\Sigma = j_{\text{пр}} + j_{\text{диф}} + j_{\text{см}}$$

$j_\Sigma$  – плотность полного тока,  $j_{\text{пр}}$  – плотность тока проводимости,  $j_{\text{диф}}$  – плотность диффузионного тока,  $j_{\text{см}}$  – плотность тока смещения. Следует отметить, что в рассматриваемой конструкции диода заряды движутся в одном направлении – от катода к аноду, поэтому можно полагать, что в плоскости поперечного сечения не изменяются ни плотность тока, ни электрическое поле. При таких допущениях задача упрощается и уравнения становятся одномерными. Объемная плотность заряда равна

$$\rho = q_0(n - n_0)$$

где  $n$  – концентрация электронов,  $n_0$  – концентрация доноров. Плотность тока проводимости определяется выражением

$$j_{\text{пр}} = q_0 n v$$

где  $q_0$  – заряд электрона,  $n$  – концентрация электронов в активной области диода. Плотность диффузионного тока в одномерном случае определяется выражением

$$j_{\text{диф}} = -q_0 D C$$

где  $D$  – коэффициент диффузии. В общем случае  $D = D(E)$ , однако учёт зависимости  $D$  от  $E$  не приводит к новым результатам, поэтому для упрощения решения уравнений полагают  $D = \text{const}$ . Тогда, плотность тока смещения равна

$$j_{\text{см}} = \varepsilon_\alpha \frac{\partial E}{\partial x}$$

Уравнение для одномерного случая имеет вид  $\frac{\partial j_\Sigma}{\partial x} = 0$ . Отсюда вытекает, что плотность суммарного тока внутри диода не зависит от координаты и может быть приравнена плотности тока  $i_a/S$ , протекающего через выводы диода во внешней цепи. С учетом соотношений (1.10), (1.8) – (1.12) запишем уравнения (1.6) и (1.7) в одномерном приближении:

$$\frac{\partial E}{\partial x} = \frac{q_0}{\varepsilon_\alpha} (n - n_0)$$

$$q_0 n v - q_0 D \frac{\partial n}{\partial x} + \varepsilon_\alpha \frac{\partial E}{\partial x} = \frac{i_a}{S}$$

где  $i_a$  – ток во внешней цепи

В уравнения (1.13) и (1.14) входят две неизвестные функции:  $n(x, t)$  и  $E(x, t)$ . Для удобства решения целесообразно (1.13) и (1.14) объединить в одно уравнение. С этой целью  $n$  из (1.13) подставим в (1.14) и в результате получим:

$$D \frac{\partial^2 n}{\partial x^2} - v(E) \frac{\partial E}{\partial x} - \frac{\partial E}{\partial t} + \frac{q_0}{\varepsilon_\alpha} D \frac{\partial n_0}{\partial x} - \frac{q_0}{\varepsilon_\alpha} n_0 v(E) + \frac{i_a}{\varepsilon_\alpha} S$$

При выводе уравнения (1.15) принято во внимание, что концентрация доноров  $n_0$  может изменяться вдоль координаты  $x$ , т.е.  $n_0 = n_0(x)$ . Нелинейные свойства диода учитываются тем, что скорость  $v$  зависит от  $E$ . Уравнение (1.15) рассматривается в области  $0 \leq x \leq l$  при изменении времени  $t$  от 0 до бесконечности. В этом случае для однозначного решения необходимо задать начальные и граничные условия. В качестве начального условия задают функцию  $E(x)$  в начальный момент времени  $t = 0$ . В качестве граничных условий необходимо задать  $E(t)$  и  $\frac{\partial E}{\partial t}$  на границах активной области диода, т.е. при  $x = 0$  и  $x = l$ .

## 1.2 Начальное и граничные условия

Полагаем, что в начальный момент времени приложенное к диоду напряжение  $u_a = 0$ . При этом  $E(x) = 0$  в случае, когда  $dn_0/dx = 0$ . Если же имеется градиент концентрации примесей, то возникает ток диффузии, образуются внутренние области зарядов и, как следствие, появляется ток проводимости. В состоянии равновесия при  $u_a = 0$  сумма токов проводимости и диффузии должна быть равна нулю. Учитывая, что в плоскости поперечного сечения плотность тока не изменяется, поэтому в результате сложения (1.10) и (1.11) получим уравнение

$$q_0 n \mu_n E(x) - q_0 D \frac{dn}{dx} = 0$$

откуда следует

$$E(x) = \frac{D}{\mu_n} \frac{1}{n} \frac{dn}{dx}$$

В соответствии с соотношением Эйнштейна

$$\frac{D}{\mu_n} = \varphi_T$$

где  $\varphi_T$  – температурный потенциал ( $\varphi_T = 0,025$  В при  $T = 300$  К). Полагая, что в начальный момент времени  $n = n_0$ , преобразуем начальное условие к виду

$$E(x, t = 0) = \varphi_T \frac{1}{n_0(x)} \frac{dn_0(x)}{dx}$$

Чтобы задать граничные условия, нужно знать реальное распределение примесей по длине кристалла. Так как на границе активной области диода концентрация примеси  $n_0$  увеличивается до значений  $10^{18} - 10^{19} \text{ см}^{-3}$ , то контакты диода по своим электрическим свойствам близки к металлу, т.е. имеют весьма малое сопротивление. Если к диоду приложена разность потенциалов, то падения напряжения на контактах практически нет и напряженность электрического поля близка к нулю. Отсюда получаем граничные условия

$$E(0, t) = 0, E(l_d, t) = 0$$

где  $l_d$  – суммарная длина диода, включающая активную часть и приконтактные области. Уравнение (1.15) совместно с условиями (1.19) и (1.20) представляют собой модель диода

Ганна. Решая численно уравнение (1.15) можно рассчитать функцию  $E(x, t_k)$  в дискретные моменты времени  $t_1, t_2, \dots, t_k$ . При этом необходимо знать значения внешнего тока в соответствующие моменты времени  $i_a(t_k)$ . По известным функциям  $E(x)$  можно рассчитать напряжение на диоде

$$u_a(t_k) = \int_0^{l_d} E(x, t_k) dx$$

Зная  $v_a(t_k)$ , можно рассчитать ток  $i_a(t_k)$ , решая уравнения для внешней цепи. Далее переходим к следующему этапу расчета, вновь обращаясь к уравнению (1.15) и определяя  $v_a$  в момент времени  $t_k + 1$ . В конечном итоге получаем временные зависимости  $u_a(t)$ ,  $i_a(t)$ . Кроме того, становится известным распределение поля  $E(x)$  вдоль диода в различные моменты времени. Можно также вычислить распределение концентрации электронов  $n$  вдоль диода из уравнения (1.13).

### 1.3 Характеристики и параметры модели

Для использования модели диода необходимо знать зависимости  $v(E)$ ,  $n_0(x)$ , а также параметры  $d, l, h$ . Зависимость  $v(E)$  может быть аппроксимирована выражением:

$$v(E) = \frac{\mu_n E + v_{\text{нас}} \left( \frac{E}{E_m} \right)^4}{1 + \left( \frac{E}{E_m} \right)^4}$$

где  $v_{\text{нас}} = 107 \text{ см/с}$  – дрейфовая скорость, соответствующая насыщению характеристики при больших напряженностях поля;  $E_m = 4000 \text{ В/см}$ . Подвижность электронов  $\mu_n$  в слабом поле зависит от концентрации доноров  $n_0$  по закону

$$\mu_n = \frac{\mu_i}{1 + \sqrt{\frac{n_0}{10^{17}}}}$$

где  $\mu_i$  – подвижность электронов в идеальном беспримесном полупроводнике (для GaAs равна  $8000 \text{ см}^2/(\text{В} \cdot \text{с})$ ). Для GaAs с концентрацией донорных примесей  $n_0 = 2 \cdot 10^{14} - 2 \cdot 10^{16} \text{ см}^{-3}$   $\mu_n$  лежит в диапазоне от 5500 до  $8000 \text{ см}^2/(\text{В} \cdot \text{с})$ , пороговая напряженность поля  $E_{\text{пор}} = 3, 5 \text{ кВ/см}$ , дрейфовая скорость, соответствующая пороговой напряженности поля,  $v_{\text{пор}} = 1, 5 - 2 \cdot 10^7 \text{ см/с}$ . Коэффициент диффузии можно вычислить по формуле

$$D = \mu_n \varphi_T + 1, 5 \tau v_{\text{пор}}^2$$

где  $\tau$  – время релаксации энергии в полупроводнике (для GaAs имеем 10-13 с). Следует отметить, что параметры диода  $v_{\text{нас}}, \mu_n, D$  зависят от температуры кристалла  $T$  и могут быть аппроксимированы следующим образом.

$$\mu_n(T) = \mu_n \left( \frac{300}{T} \right)^{1.14}, v_{\text{нас}}(T) = v_{\text{нас}} \left( \frac{300}{T} \right)^{0.7}$$

Границы применимости модели обусловлены принятыми допущениями:

1. Средняя дрейфовая скорость зависит от мгновенного значения напряжённости электрического поля.

2. Коэффициент диффузии не зависит от напряжённости поля. Первое допущение ограничивает применимость модели до некоторой частоты (примерно 40 ГГц) и накладывают ограничение на длину активной области диода ( $l > 1 \text{ мкм}$ ). Второе допущение не приводит к каким-либо заметным ограничениям.